Chemischer Transport fester Lösungen. 2 [1]

Der Chemische Transport von Mischkristallen im System NiO/ZnO

S. Locmelis, R. Wartchow, G. Patzke und M. Binnewies*

Hannover, Institut für Anorganische Chemie der Universität

Bei der Redaktion eingegangen am 20. August 1998.

Inhaltsübersicht. Durch Chemischen Transport mit HCl (900 → 750 °C) gelingt es, die im System Zn/Ni/O miteinander koexistierenden ZnO-reichen und NiO-reichen Mischkristalle darzustellen. Die Mischkristalle erwiesen sich als

homogen bezüglich ihrer Zusammensetzung. Thermodynamische Rechnungen sind im Einklang mit den Experimenten.

Chemical Vapor Transport of Solid Solutions. 2 Chemical Transport of NiO/ZnO-Mixed Crystals

Abstract. By means of chemical vapor transport using HCl as transport agent $(900 \rightarrow 750\,^{\circ}\text{C})$ it is possible to prepare ZnO-rich and NiO-rich mixed crystals in the system Zn/Ni/O. The mixed-crystals are homogeneous. Thermodynamic calculations allow to understand the experiments.

Keywords: Zinc; Nickel; Chemical vapor transport; ZnO/NiO-mixed crystals

1 Einleitung

Feste Lösungen, hier am Beispiel von ionischen Verbindungen, können bemerkenswerte, für die praktische Anwendung bedeutsame Eigenschaften aufweisen [2]. Während feste Lösungen zweier (oder auch mehrerer) Metalle ineinander nicht selten aus der Schmelze erhalten werden können¹⁾, ist dies bei Ionenverbindungen in der Regel nicht möglich, weil vor Erreichen des Schmelzpunktes häufig Zersetzung eintritt, so bei zahlreichen Oxiden, Sulfiden etc. Es gibt also Gründe, allgemein anwendbare Präparationsverfahren für feste Lösungen zu entwickeln. Wir haben in der letzten Zeit eine größere Anzahl von Beispielen gefunden, feste Lösungen von Oxiden mit Hilfe Chemischer Transportreaktionen zu erhalten

und berichten hier über ein weiteres Beispiel, die Darstellung von Mischkristallen im System NiO/ZnO.

ZnO kristallisiert bei Normalbedingungen im Wurtzit-Typ mit tetraedrischer Zn-Koordination, NiO hingegen im Kochsalztyp mit oktaedrischer Ni-Koordination. Dementsprechend weist das Phasendiagramm [3] eine breite Mischungslücke auf (Abb. 1). So beträgt bei 800 °C die maximale Löslichkeit von NiO in ZnO ca. 1 %, die von ZnO in NiO etwa 30 %. Gelingt es, NiO und ZnO gleichzeitig zu transportieren, so sind aus thermodynamischer Sicht drei Fälle denkbar:

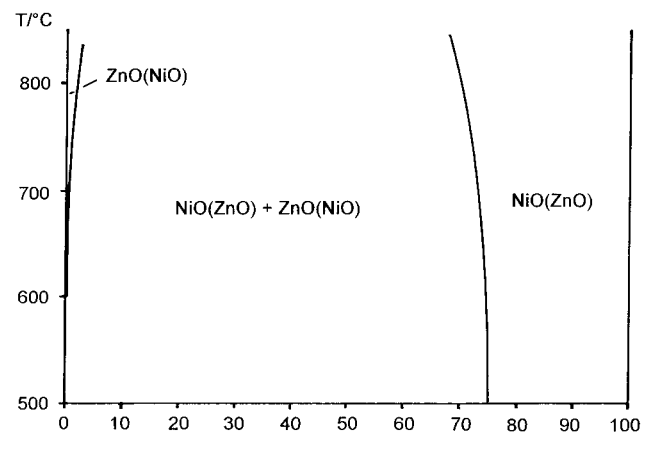
- a) die Abscheidung von ZnO-reichen Mischkristallen bei variablen Konzentrationsverhältnissen (einphasiger Bodenkörper, im Sinne des Gibbsschen Phasengesetzes ein bivariantes System, Freiheitsgrade: T und c),
- b) die Abscheidung von miteinander koexistierenden ZnO-reichen und NiO-reichen Mischkristallen der jeweils maximalen Löslichkeit (zweiphasiger Bodenkörper, univariantes System, Freiheitsgrad: T) und
- c) die Abscheidung NiO-reicher Mischkristalle variabler Konzentration (einphasiger Bodenkörper, bivariantes System, Freiheitsgrade: T, c).

Thermodynamische Rechnungen können Auskunft über den/die zu erwartenden Senkenbodenkörper liefern.

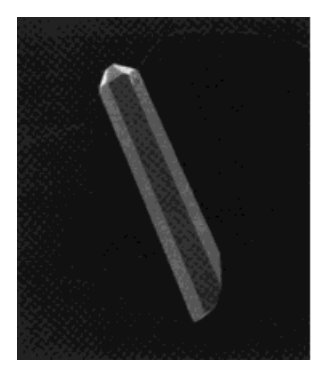
^{*} Prof. Dr. M. Binnewies Institut für Anorganische Chemie, Universität Hannover Callinstr. 9

D-30167 Hannover

¹⁾ In diesem Zusammenhang sei auf die Tatsache hingewiesen, daß bei der Kristallisation aus der Schmelze bei nicht kongruent schmelzenden (erstarrenden) Stoffen prinzipiell keine bezüglich ihrer Zusammensetzung homogene Mischphase erhalten werden kann, weil sich beim Kristallisationsvorgang die Zusammensetzung der Schmelze kontinuierlich ändert.



Mol % NiO



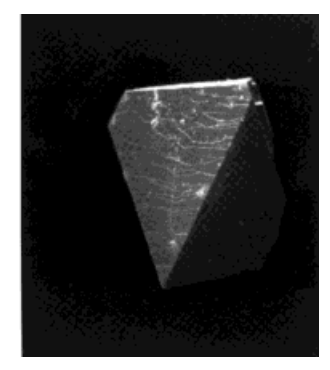


Abb. 1 Phasendiagramm des Systems NiO/ZnO und von uns erhaltene Kristalle der Mischphasen

1.1 Thermodynamische Überlegungen

1.1.1 Kp-Methode

NiO wie ZnO sind mit HCl bzw. NH₄Cl endotherm transportierbar [4–8]. Als Transportgleichungen kommen im wesentlichen (1) und (2) in Betracht.

$$\begin{aligned} \text{NiO}_{\text{f}} + 2 \, \text{HCl}_{\text{g}} &= \text{NiCl}_{2,\text{g}} + \text{H}_{2}\text{O}_{\text{g}} \\ \text{ZnO}_{\text{f}} + 2 \, \text{HCl}_{\text{g}} &= \text{ZnCl}_{2,\text{g}} + \text{H}_{2}\text{O}_{\text{g}} \end{aligned} \tag{1}$$

Daneben muß auch die Bildung von Ni₂Cl₄, Zn₂Cl₄ und ZnNiCl₄ Berücksichtigung finden. Wir führen die Berechnung für einen zweiphasigen Bodenkörper (Fall b, Abschnitt 1) der jeweils maximalen Löslichkeiten beider Komponenten ineinander durch. Für eine näherungsweise Berechnung der Gasphasenlöslichkeiten benötigen wir die Aktivitäten von NiO und ZnO im Zweiphasengebiet. Da diese nicht bekannt sind, gehen wir in erster Näherung davon aus, daß diese den Stoffmengenanteilen in den gesättigten Lösungen von ZnO bzw. NiO (hier bei 800 °C) 0,99 bzw. 0,76 entsprechen (a(ZnO) = 0,99; a(NiO) = 0,76). Diese Werte werden an Stelle einer Aktivität von 1 für einen reinen festen Bodenkörper in die Massenwirkungsausdrücke für die Reaktionen (1) und (2) ein-

gesetzt. Auf Grund des Näherungscharakters der Rechnungen verzichten wir auf die Berücksichtigung der Temperaturabhängigkeiten von Enthalpien und Entropien. Ebenso kann die Temperaturabhängigkeit der Aktivitäten wegen fehlender Daten nicht berücksichtigt werden. NH₃, das durch thermische Dissoziation von NH₄Cl entsteht, ist bei Transportbedingungen weitgehend in N₂ und H₂ zerfallen. Dieses Dissoziationsgleichgewicht wird bei den Rechnungen nicht berücksichtigt, ebenso nicht die (experimentell beobachtete) Reduktion von NiO oder ZnO durch H₂ (siehe hierzu 1.1.2). Die in die Berechnung einbezogenen Verbindungen und ihre Bildungsenthalpien und -entropien (Tabelle 1) sind:

ZnO(f), NiO(f), HCl(g), ZnCl₂(g), Zn₂Cl₄(g), NiCl₂(g), Ni₂Cl₄(g) sowie die zu erwartende Gasspezies ZnNiCl₄(g). Die vorausgesagten Transportraten von ZnO und NiO werden durch die Temperaturabhängigkeiten der Gasphasenlöslichkeiten von Zn und Ni beschrieben, die im folgenden diskutiert werden sollen. Wir verwenden folgende Definition der Gasphasenlöslichkeiten

$$\begin{split} \lambda(M) &= [p(MCl_2) + 2*p(M_2Cl_4) + p(MM'Cl_4)]/\\ [p(HCl) + 2*p(MCl_2) + 4*p(M_2Cl_4) + 4*p(MM'Cl_4) \\ &+ 2*p(H_2O) + p(NH_3) + 2*p(M'Cl_2) + 4*(M_2'Cl_4)] \end{split}$$

zur Beschreibung des Transportgeschehens. Unter Einbeziehung der in Tabelle 1 aufgeführten thermodynamischen Daten sowie der oben angegebenen Aktivitäten ergeben sich die in Abb. 2 dargestellten Verläufe der Gasphasenlöslichkeiten von Nickel und Zink.

Für beide Metalle berechnet man eine mit steigender Temperatur zunehmende Gasphasenlöslichkeit, jedoch um ca. 2-3 Zehnerpotenzen höhere Werte für Zink. Es ist demnach für beide Oxide ein Transport von $T_2 \rightarrow T_1$ zu erwarten. Die zahlenmäßige Auswertung ergibt für einen Transport von $900 \rightarrow 750$ °C die Löslichkeitsdifferenzen $\Delta \lambda(Zn) = 16 \cdot 10^{-4}$ und $\Delta\lambda(Ni) = 3.6 \cdot 10^{-4}$, also zwei Werte in der gleichen Größenordnung, die anzeigen, daß es bei Transportraten von ca. 1,5 mg/h (gesamt) zu einer Anreicherung von Zinkoxid in der Senke kommen sollte. Eine exakte Aussage über den/die zu erwartenden Bodenkörper kann hieraus nicht unmittelbar getroffen werden. Dies ist jedoch mit Hilfe der Methode der Minimierung der freien Enthalpie möglich. Wir verwenden hier das Computerprogramm CVTRANS [9].

1.1.2 Methode der Minimierung der freien Enthalpie

Im Gegensatz zur Kp-Methode, bei der die thermodynamischen Aktivitäten der Festkörperkomponenten in die Rechnung einfließen, gehen bei der Methode der Minimierung der freien Enthalpie Entropie- und Enthalpiewerte unmittelbar in die Rechnungen ein, bei dem hier diskutierten Beispiel also notwendigerweise

 Tabelle 1
 Themodynamische Daten der beteiligten Stoffe

Substanz	${\it \Delta}_{ m B}{ m H}^{\circ}_{ m 298}$ k ${ m J/mol}$	S°298 J/mol K		$10^{-3} \text{ T} + \text{c} \cdot 10^{5}$ /mol K	T^{-2}	Literatur	
			a	b	c		
HCl _o	-92,3	186,9	26,53	4,60	1,09	[11]	
H_2O_g	-241,8	188,8	30,00	10,71	0,33	[11]	
$H_{2,g}$	0	130,7	27,28	3,26	0,50	[13]	
$O_{2,g}$	0	205,1	29,96	4,18	-1,67	[11]	
O, ~	249,2	161,1	21,90	0	0	[13]	
O _g Cl _{2,g}	0	223,1	36,90	0,25	-2,85	[11]	
Clg	121,3	165,2	21,80	0	0	[11]	
$N\ddot{ m H}_{3,g}$	-46,0	192,8	37,32	18,66	-6,49	[13]	
$N_{2,g}$	0	191,6	27,87	4,27	0	[13]	
Zn _s	0	41,7	22,38	10,04	0	[11]	
Zn_g	130,4	161,0	20,80	0	0	[12]	
ZnO_s	-350,5	43,6	48,99	5,10	-9,12	[11]	
$ZnCl_{2,g}$	-265,7	276,7	56,90	0	0	[13]	
$Zn_2Cl_{4,g}$	-639,4	419,3	122,20	0	0	[13]	
Ni _s	0	29,9	16,99	29,46	0	[13]	
Nig	430,1	182,2	23,40	0	0	[12]	
NiŌ _s	-239,7	38,0	46,78	8,45	0	[13]	
NiCl _{2,g}	-73,9	294,2	58,10	0	0	[13]	
Ni ₂ Cl _{4,g}	-292,6	454,5	127,00	0	0	[14]	
ZnNiCl _{4,g}	-464,0	436,8	124,60	0	0	a)	
Ni ₇₆ Zn ₂₄ O _{100,s}	-26370,0	4393,1	4731,04	764,60	-218,88	[15]	

a) geschätzt aus $Ni_2Cl_4 + Zn_2Cl_4 = NiZnCl_4$, $\Delta_RH_{298}^\circ = 0$, $\Delta_RS_{298}^\circ = 0$, $\Delta c_P = 0$

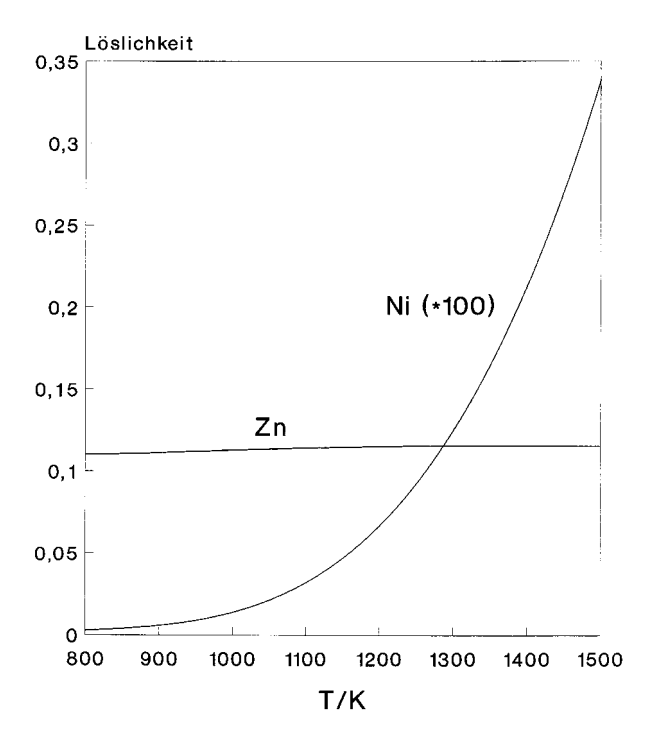


Abb. 2 Gasphasenlöslichkeiten von Nickel und Zink

auch die Daten für die beiden Mischphasen NiO(ZnO) und ZnO(NiO), die aus der Literatur nicht bekannt sind und abgeschätzt werden müssen. Ein einfaches Modell, das für den Fall der festen Lösung chemisch ähnlicher, isotyper Verbindungen häufig verwendet wird, ist das der regulären Lösung. Es geht von einer Mischungsenthalpie von Null aus sowie von einer mit Hilfe der statistischen Thermodynamik zu

berechnenden Mischungsentropie. Für den Fall der nicht isotypen Verbindungen ZnO und NiO erzeugen wir formal unter Aufbringung der Umwandlungsenthalpie $\varDelta_u H^o_{298}$ aus ZnO (Wurtzit-Modifikation) die Hochdruckmodifikation ZnO (Kochsalz-Typ) und wenden auf diese das Modell der regulären Lösung an. Abbildung 3 verdeutlicht diesen Sachverhalt. Die Enthalpie der festen Lösung NiO(24 % ZnO) ergibt sich so als

$$\Delta H^{\circ}(\text{NiO}(\text{ZnO})) = \Delta H^{\circ}(\text{NiO}) - x, \text{ mit}$$

$$x = (1 - 0.76) \cdot [\Delta H^{\circ}(\text{NiO}) - \Delta H^{\circ}(\text{ZnO}) - \Delta_{u} H^{\circ}(\text{ZnO})]$$

Mit den in Tabelle 1 angegebenen Werten ergibt sich so für x ein Wert von 22 kJ/mol und damit eine Standardbildungsenthalpie der Mischphase NiO (24 % ZnO) von -261,7 kJ/mol. Die Mischungsentropie von NiO (24 % ZnO) errechnet sich nach ΔS_{M}° = $-[\mathbf{x} \cdot \mathbf{R} \cdot \ln(\mathbf{x}) + (1 - \mathbf{x}) \cdot \mathbf{R} \cdot \ln(1 - \mathbf{x})]$ mit $\mathbf{x} = 0.76$ zu 4.6 J/mol K. Daraus errechnet sich die Standardentropie der Mischphase zu 43,6 + 0,76 · (38,0-43.6) + 4.6 = 43.9 J/Kmol. Mit diesen Werten kommt es jedoch nicht zu einer befriedigenden Übereinstimmung zwischen Experiment und Rechnung. Diese wird jedoch schon bei einer geringfügigen Änderung der Bildungsenthalpie von Ni_{0.76}Zn_{0.24}O erreicht $(-261,7 \rightarrow -263,7 \text{ kJ/mol})$. Da die Löslichkeit von NiO in ZnO sehr gering ist, sollten sich Enthalpie und Entropie der ZnO-reichen Mischphase nur unwesentlich von den Werten des reinen ZnO unterscheiden. Wir rechnen mit den Daten des reinen ZnO (Tabelle 1). Die Rechnungen lassen dann bei jedem der betrachteten Quellenbodenkörper (siehe Tabelle 2), Abschnitt 2.1, ein nichtstationäres Transportverhalten erwarten. Es sollte bei kleinen Transportraten stets elementares Nickel in der Senke auftreten. Die höchsten Transportraten mit ca. 1,5 mg/h sollten bei der Phase Ni_{0.01}Zn_{0.99}O auftreten. Daneben läßt die Rechnung je nach Quellenbodenkörperzusammensetzung reines NiO bzw. Ni_{0.76}Zn_{0.24}O erwarten.

2 Ergebnisse

2.1 Präparation

NiO wurde durch thermischen Abbau von NiCO $_3$ ·2 Ni(OH) $_2$ ·4 H $_2$ O (Riedel-de Haen AG, chem. rein) in N $_2$ -Atmosphäre bei 800 °C hergestellt. ZnO (Riedel-de Haen, 99,5 %) wurde zur Entfernung von Wasseranteilen bei 300 °C 24 h getempert. NH $_4$ Cl wurde zur Trocknung mehrere Tage im Trockenschrank bei 90 °C aufbewahrt.

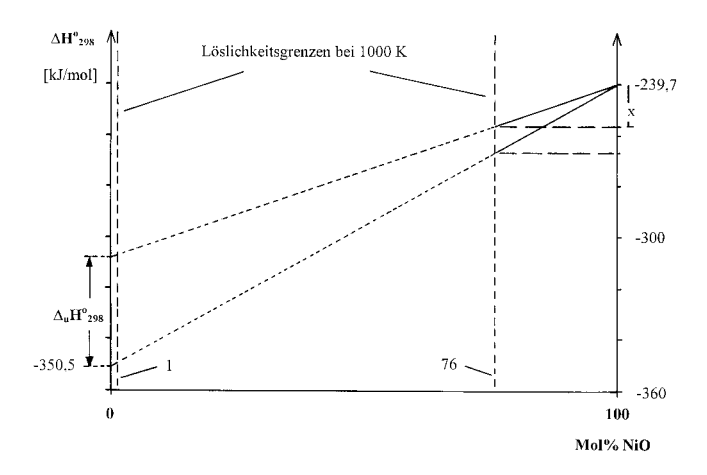


Abb. 3 Graphische Darstellung des verwendeten Verfahrens zur Abschätzung der Enthalpie von NiO(24% ZnO)

Die Transportexperimente wurden in Quarzglasampullen (Innendurchmesser 25 mm, Länge 150 mm) durchgeführt. Die optimalen Versuchsergebnisse wurden bei p° (NH $_3$ + HCl) = 0,6 bar und bei einer Transporttemperatur von 900 \rightarrow 750 °C erzielt. Die entsprechenden Ergebnisse sind in Tabelle 1 zusammengestellt.

Weitere Versuchsreihen wurden bei höherem Druck (1 bzw. 2 bar) und veränderten Transporttemperaturen (900 \rightarrow 800 °C, 1000 \rightarrow 800 °C, 1000 \rightarrow 900 °C) durchgeführt. Durch die sehr viel geringeren Transportraten bei diesen Versuchen konnte die NiO-reiche Phase häufig nicht gefunden werden.

2.2 Röntgenographische Befunde

Mittels Pulverdiffraktometrie (25 °C, Cu-K α_1 -Strahlung, Stoe STADI P) haben wir zunächst die Gitterkonstanten der eingesetzten Oxide bestimmt. Es ergaben sich folgende Werte:

NiO (NaCl-Struktur) a = 4,17699(2) Å, (Literaturwert: a = 4,205 Å [16])

ZnO (Wurtzit-Struktur) a = 3,2492(1) Å, c = 5,2055(3) Å (Literaturwerte: a = 3,24982(9) Å, c = 5,20661(15) Å [17])

Eine Gitterkonstantenbestimmung an Einkristallen (25 °C, Mo– K_{α} -Strahlung, Imaging-Plate-Diffraction-System (IPDS); Stoe, Darmstadt) ergab für die NiO-reiche Phase (75,7 Mol % ZnO, siehe Abschnitt 2.3) einen Wert von a = 4,189(2) Å und für die ZnO-reiche Phase (99,34 Mol % ZnO) a = 3,234(1) Å, c = 5,187(2) Å. Dies ist qualitativ im Einklang mit der Erwartung, weil Zn²⁺ einen größeren Ionenradius als Ni²⁺ hat (0,73 Å bzw. 0,69 Å bei Koordinationszahl 6 und 0,60 Å bzw. 0,55 Å bei Koordinationszahl 4). Röntgenographisch ergab sich aus einer Differenzfouriersynthese kein Hinweis auf die Besetzung von Tetraederplätzen im NiO durch die Zn²⁺-Ionen.

 Tabelle 2
 Übersicht über experimentelle Bedingungen und Analysenergebnisse

Nr.	QBK [Mol · 10 ⁻³]		SBK	Transp	Transportrate (mg/h)		Gitterkonstanten
	ZnO	NiO	(Phase)		exp.	berechnet	pm
1	0	26,38	NiO	+	0,69		a = 417,69(1)
2	5,28	21,42	Ni Ni _{0,76} Zn _{0,24} O NiO	- - - }	0	0,16 0,27 0,21	
3	10,55	15,83	$\begin{array}{c} Ni \\ Ni_{0,01}Zn_{0,99}O \\ Ni_{0,76}Zn_{0,24}O \end{array}$	+ + +	0,94	0,10 1,47 0,17	a = 323, 46(3); c = 518,81(7) a = 418,89(3)
4	13,19	13,19	$\begin{array}{c} Ni \\ Ni_{0,01}Zn_{0,99}O \\ Ni_{0,76}Zn_{0,24}O \end{array}$	+ + +	1,3	0,10 1,47 0,17	a = 323,40(6); c = 518,70(15) a = 418,90(18)
5	15,83	10,55	$\begin{array}{l} Ni \\ Ni_{0,01}Zn_{0,99}O \\ N_{0,76}Zn_{0,24}O \end{array}$	- + -	1,57	0,10 1,47 0,17	a = 323,42(6); c = 518,79(12)
6	21,42	5,28	$\begin{array}{c} \text{Ni} \\ \text{Ni}_{0,01} \text{Zn}_{0,99} \text{O} \\ \text{Ni}_{0,76} \text{Zn}_{0,24} \text{O} \end{array}$	- + -	1,74	0,10 1,47 0,17	a = 323,41(2); c = 518,74(7)
7	26,38	0	ZnO	+	5,34		a = 324,87(1); c = 520,50(2)

2.3 Analytische Befunde

Die Ergebnisse der EDX-Analysen (Philips PSEM 500; Leica Link Systems AN10/53091) an Oberflächen abgeschiedener Kristalle zeigen Werte von >99 Atom% Zn und ca. 26 Atom% Zn in den zink- bzw. nickelreichen Mischkristallen. Wir haben zusätzlich ICP-MS-Analysen (VG Plasmaquad PQII Turbo und Quadrupol ICP-MS, Fisons Instruments, Vinsford Cheshire) an einzelnen Kristallen durchgeführt, deren Ergebnisse in guter Übereinstimmung mit den EDX-Analysen sind (99,3 bzw. 24,3 Atom% Zn). Diese Befunde zeigen, daß sich offenbar, dem Phasendiagramm entsprechend, die miteinander koexistierenden Phasen der jeweils maximalen Löslichkeit der binären Oxide ineinander abgeschieden haben. Von Interesse ist weiterhin die Frage der Homogenität (bezüglich der Zusammensetzung) der abgeschiedenen Phasen. Wir haben dies an einigen ausgewählten Proben mit einer Mikrosonde (Gerät: WDX, Cameca; Camebax) im Kristallinneren an angeschliffenen Kristallen untersucht und innerhalb der Standardabweichung von $\pm 0.5\%$ keinen systematischen Konzentrationsgradienten feststellen können.

Wir haben also mit dem Chemischen Transport ein Präparationsverfahren in der Hand, das es zumindest in diesem Fall gestattet, homogen zusammengesetzte feste Lösungen zu präparieren.

2.4 Spektroskopische Befunde

Die erhaltene zinkoxidreiche Mischphase $Ni_{0.01}Zn_{0.99}O$ ist von olivgrüner Farbe, die durch Ni^{2+} in tetraedrischer Koordination hervorgerufen wird [18]. Aufgrund der hohen Farbintensität bei sehr geringer Ni^{2+} -Konzentration kann das Vorliegen von Ni^{2+} in oktaedrischer Koordination ausgeschlossen werden. Eine zusätzliche Charakterisierung erfolgte durch Aufnahme der UV-Vis-Spektren von reinem ZnO sowie von $Ni_{0.01}Zn_{0.99}O$.

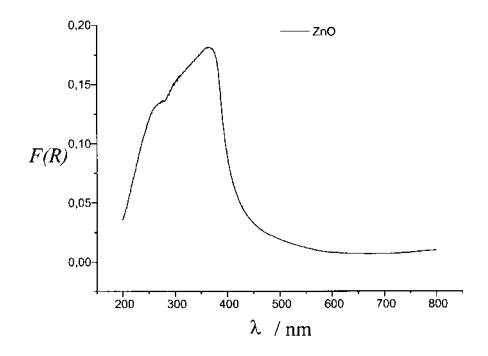
Die Spektren wurden auf einem Cary-5E Spektrometer (Varian) mit "Praying Mantis" (Harrick) in diffuser Reflexion aufgenommen; die Proben wurden mit BaSO₄ als Trägermaterial und Weiß-Standard vermahlen. Die Auswertung erfolgte nach der Kubelka-Munk Theorie. Der senkrechte Sprung bei 280 nm ist gerätebedingt und stammt vom Lampenwechsel.

Die UV-Vis-Spektren von $Ni_{0.01}Zn_{0.99}O$ [19], $Ni_{0.002}Zn_{0.998}O$ [20] sowie von ZnO(NiO) (0,072 Gew.% Ni) [21] sind bereits literaturbekannt.

Abb. 4 zeigt die aufgenommenen Spektren. Der steile Anstieg der Absorption ab 555 nm sowie die folgende Schulter bei 436 nm im Spektrum von Ni_{0.01}Zn_{0.99}O befinden sich in Übereinstimmung mit den für Ni_{0.002}Zn_{0.998}O angegebenen Literaturwerten [20]. Aus Tabelle 3 ist die Lage der weiteren Banden zu entnehmen.

Somit konnte das Vorliegen einer stark verdünnten festen Lösung von NiO in ZnO spektroskopisch eindeutig belegt werden.

Die ebenfalls aufgenommenen UV-Vis-Spektren von reinem NiO und $Ni_{0.76}Zn_{0.24}O$ werden in Abb. 5 verglichen. Im Gegensatz zu Abb. 4 ist hier eine deutliche Änderung der Bandenlagen der Mischphase gegenüber der Randphase NiO zu erkennen.



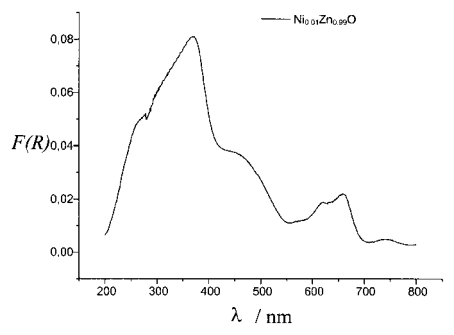
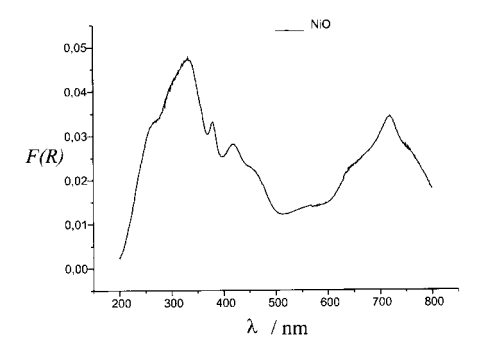
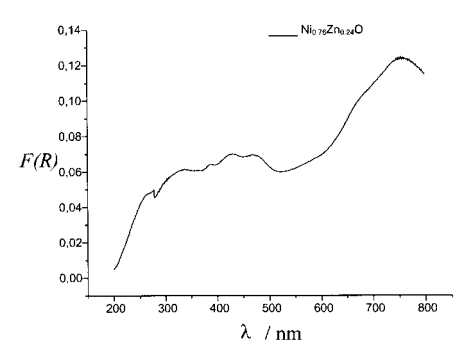


Abb. 4 Vergleich der UV-Vis-Spektren von ZnO und $Ni_{0.01}Zn_{0.99}O$

Tabelle 3 Vergleich der beobachteten Bandenlagen für Ni_{0.01}Zn_{0.99}O mit den Literaturwerten (Angaben in nm)

$Ni_{0,01}Zn_{0,99}O$ (beobachtet)	Ni _{0,01} Zn _{0,99} O (Lit. [19])		
619	617		
660	649		
741	743		





 $\boldsymbol{Abb.5}$ Vergleich der UV-Vis-Spektren von NiO und Ni $_{0.76}Zn_{0.24}O$

3 Diskussion

Durch Chemischen Transport können im System NiO/ZnO homogen zusammengesetzte feste Lösungen dargestellt werden. Dieses Verfahren erlaubt die gezielte Präparation von Einkristallen und zeichnet sich dadurch gegenüber konventionellen Sintermethoden aus. Die thermodynamische Modellierung der Transportexperimente mit der Methode der Minimierung der freien Enthalpie steht im Einklang mit den erhaltenen Ergebnissen. Die durchgeführten Rechnungen sind ein Mittel zur Syntheseplanung bei der Darstellung fester Lösungen, da auf diese Weise Informationen über die zu erwartenden Senkenbodenkörper zugänglich sind. Der Kp-Methode sind diese detaillierten Aussagen nicht ohne weiteres zu entnehmen.

Die hier vorgestellte Arbeitsweise eröffnet somit den Zugang zu einer Vielzahl ionischer Mischphasen.

Der Deutschen Forschungsgemeinschaft danken wir für die Förderung dieser Arbeit. Weiterhin gebührt besonderer Dank der Fa. Heraeus, Hanau, für großzügige Spenden von Quarzglas.

Herrn *Dipl.-Chem. A. Glaue* (Universität München, Arbeitsgruppe *Prof. P. Behrens*) danken wir für die Aufnahme der UV-Vis-Spektren.

Literatur

- [1] S. Locmelis, M. Binnewies, Z. Anorg. Allg. Chem. 1999, 625, 294.
- [2] G. Patzke, M. Binnewies, Chem. unserer Zeit, im Druck.
- [3] C. H. Bates, W. B. White, R. Ray, *J. Inorg. Nucl. Chem.* **1966**, *28*, 387.

- [4] F. Emmenegger, A. Petermann, J. Crystal Growth 1968, 2 33
- [5] F. Emmenegger, J. Crystal Growth 1968, 3, 135.
- [6] P. Kleinert, Z. Anorg. Allg. Chem. 1972, 387, 11.
- [7] H. Oppermann, G. Stöver, Z. Anorg. Allg. Chem. 1984, 511, 57.
- [8] C. van de Stolpe, J. Phys. Chem. Solids 1966, 27, 1952.
- [9] R. Glaum, W. Bieger, O. Trappe, Programm CVTrans, Universität Gießen, 1997.
- [10] C. J. M. Rooymans, *Philips Research Reports Suppl.* **1968**, *No.* 5.
- [11] O. Kubaschewski, C. B. Alcock, Metallurgical Thermochemistry, Pergamon Press, Oxford, 1983.
- [12] JANAF Thermochemical Tables, 3rd Ed., American Chemical Society, American Institute of Physics, National Bureau of Standards, New York, 1986.
- [13] I. Barin, *Thermochemical Data of Pure Substances*, 2. Aufl., Verlag Chemie, Weinheim, **1992**.
- [14] H. Schäfer, M. Binnewies, Z. Anorg. Allg. Chem. 1974, 410, 251.
- [15] Diese Arbeit.
- [16] S. van Houten, J. Phys. Chem. Solids 1962, 223, 1049.
- [17] H. F. McMundi, M. C. Morris, E. H. Evans, B. Paretzkin, W. Wong-Ng, *Powder Diffraction* 1986, 1, 76.
- [18] J. J. Donaghy, A. T. Stewart, Phys. Rev. 1967, 164, 398.
- [19] H. A. Weakliem, J. Chem. Phys. 1962, 36, 2117.
- [20] D. Reinen, Ber. Bunsenges. Phys. Chem. 1965, 69, 82.
- [21] O. Schmitz-DuMont, A. Lulé, D. Reinen, *Ber. Bunsenges. Phys. Chem.* **1965**, *69*, 76.